

# 颱風運行之基本原理與七十二小時路徑預報

王 崇 岳

國立台灣大學大氣科學系

(中華民國七十二年二月十六日收件，同年三月八日修正)

## 摘要

按大氣運動方程，可導引控制颱風運行之基本力——外力與內力——。外力乃為氣象人員所熟知之駛流，而內力則與地球自轉有直接關係。

颱風環流與其中心軸對稱時，運行常穩定；但若環流為非軸對稱，則有向左或向右偏向、加減速等現象，使正常之颱風路徑預報，有嚴重之誤差。

當颱風四周之駛流微弱，颱風路徑時有向左或右旋轉與蛇行等特殊現象。

四十八小時數值天氣預報圖中，其中緯度區預測圖型相當可靠，可作為七十二小時颱風路徑預報之重要參考資料。

## 一、前 言

近十年來，中緯度區之數值天氣預報已有長足之進步，其對於溫帶氣旋之發展及其位移方向與速度有相當可靠之預報能力；唯對於熱帶地區之颱風，因該區資料不全，精密網格點之應用於事無補，故對於直接預報颱風之位移，有其先天性之困難，無法克服，我國諸氣象學者雖曾作多方面之努力，力求改進，但進步仍屬遲緩，每次颱風來襲本省，時有令人不滿意之處。本文目的乃按大氣運動方程，分解颱風運行之各種因素與其原理，再配合中緯度區數值預報氣壓場之型態作為參考資料，對於二、三日之颱風路徑預報，可能有良好之效果。

## 二、颱風運行之基本原理

以直角座標軸之原點，固定於地球表面上的一點， $x$ —軸指向東方， $y$ —軸指向北方， $z$ —軸指向天頂，如不考慮摩擦力，則地面上一空氣塊之運動方程如下（王，民67年）：

$$\frac{du}{dt} = -\frac{1}{\rho} \frac{\partial p}{\partial x} + 2\omega(v \sin \phi - w \cos \phi) \quad (1)$$

$$\frac{dv}{dt} = -\frac{1}{\rho} \frac{\partial p}{\partial y} - z\omega u \sin \phi \quad (2)$$

（式中之常用符號，於此不予解釋）

另以颱風中心所在點建立一新直角座標系( $x' y' z' t'$ )，颱風中心對原座標移動之向量為 $c$ ，則 $c = c_x i + c_y j$ 。因颱風四周氣流對颱風中心之相對速度各為 $u'$ ， $v'$ 與 $w'$ ，故 $u = c_x + u'$ ， $v = c_y + v'$ 與 $w = w'$ 以此 $u$ ， $v$ 與 $w$ 代入(1)與(2)式，且重行排列

$$\begin{aligned} \text{得 } \frac{dc_x}{dt} &= 2\omega c_y \sin \phi \\ &= -\frac{1}{\rho} \frac{\partial p}{\partial x} + 2\omega(v' \sin \phi - w' \cos \phi) - \frac{du'}{dt} \end{aligned} \quad (3)$$

$$\begin{aligned} \frac{dc_y}{dt} &+ 2\omega c_x \sin \phi \\ &= -\frac{1}{\rho} \frac{\partial p}{\partial y} - 2\omega u' \sin \phi - \frac{dv'}{dt} \end{aligned} \quad (4)$$

(3)與(4)式各乘以 $\rho$ ，且對整個颱風環流之體積 $\tau$ 求積分，即得作用於整個颱風環流之力：

$$\int_{\tau} \rho \left( \frac{dc_x}{dt} - 2\omega c_y \sin \phi \right) d\tau$$

$$= - \int_{\tau} \frac{\partial p}{\partial x} d\tau + 2\omega \int_{\tau} \rho (v' \sin \phi - w' \cos \phi) d\tau - \int_{\tau} \rho \frac{du'}{dt} d\tau \quad (5)$$

$$\begin{aligned} & \int_{\tau} \rho \left( \frac{dc_v}{dt} + 2\omega c_x \sin \phi \right) d\tau \\ & = - \int_{\tau} \frac{\partial p}{\partial y} d\tau - 2\omega \int_{\tau} \rho u' \sin \phi d\tau - \int_{\tau} \rho \frac{dv'}{dt} d\tau \end{aligned} \quad (6)$$

上兩式中之  $\phi$  乃為涵蓋整個颱風環流區內之緯度變數，為便以計算，今以颱風中心所在之緯度  $\phi_0$  為準，且  $\int_{\tau} \rho d\tau = M$  (總質量)。

$$\begin{aligned} & 得 M \left( \frac{dc_x}{dt} - 2\omega c_v \sin \phi_0 \right) \\ & = - \int_{\tau} \frac{\partial p}{\partial x} d\tau - 2\omega \int_{\tau} \rho (w' \cos \phi_0 - v' \sin \phi_0) d\tau - \int_{\tau} \rho \frac{du'}{dt} d\tau \quad (7) \\ & M \left( \frac{dc_v}{dt} + 2\omega c_x \sin \phi_0 \right) \\ & = - \int_{\tau} \frac{\partial p}{\partial y} d\tau - 2\omega \int_{\tau} \rho u' \sin \phi_0 d\tau - \int_{\tau} \rho \frac{dv'}{dt} d\tau \quad (8) \end{aligned}$$

由(7)與(8)式，可知作用於颱風整個環流之水平加速力有下列四種，茲分別討論如下：

(1) 如氣壓梯度平坦，並無外力存在，(7)與(8)式等號右側各項之和接近零，則僅有柯氏力 ( $F$ ) 作用於颱風，即

$$\begin{aligned} F &= 2\omega \sin \phi_0 (c_v i - c_x j) \\ &= f_0 \hat{k} c \end{aligned} \quad (9)$$

柯氏力  $F$  與颱風位移方向向量向右偏  $90^\circ$ ，(北半球)，因此當颱風移動時，其中心按順時鐘方向旋轉；但若颱風中心之右側另有一低壓中心，或有學生颱風存在，則颱風中心呈反時鐘方向旋轉。

(2) (7)與(8)式等號右側第一項代表駛流之強度 ( $G$ )，

$$G = - \int_{\tau} \left( \frac{\partial p}{\partial x} i + \frac{\partial p}{\partial y} j \right) d\tau \quad (10)$$

(10)式之外力  $G$  可分解為  $x$  與  $y$  兩方向：

$$- \int_{\tau} \frac{\partial p}{\partial x} d\tau = - \int_s \int_0^{s_1} \frac{\partial p}{\partial x} dz ds$$

(式中之  $s$  代表水平截面積)

$$- \int_{\tau} \frac{\partial p}{\partial y} d\tau = - \int_s \int_0^{s_1} \frac{\partial p}{\partial y} dz ds$$

如採用地轉近視值，得：

$$\begin{aligned} & - \int_{\tau} \frac{\partial p}{\partial x} d\tau \\ & = - 2\omega \sin \phi_0 \int_0^{s_1} \bar{v} \int_s \rho ds dz \end{aligned} \quad (11)$$

$$\begin{aligned} & - \int_{\tau} \frac{\partial p}{\partial y} d\tau \\ & = 2\omega \sin \phi_0 \int_0^{s_1} \bar{u} \int_s \rho ds dz \end{aligned} \quad (12)$$

(11)與(12)式中之  $\bar{u}$ ， $\bar{v}$  為颱風區域內局部之平均水平氣流場。如以  $\bar{U}_m$  與  $\bar{V}_m$  為大型氣流場內整層之平均值，則該兩式可簡化成下式：

$$\begin{aligned} & - \int_{\tau} \frac{\partial p}{\partial x} d\tau \\ & = - M \cdot 2\omega \sin \phi_0 \cdot \bar{V}_m \end{aligned} \quad (13)$$

$$\begin{aligned} & - \int_{\tau} \frac{\partial p}{\partial y} d\tau \\ & = M \cdot 2\omega \sin \phi_0 \cdot \bar{U}_m \end{aligned} \quad (14)$$

如果僅考慮地轉偏向力與水平氣壓梯度達到平衡之條件，則

$$c_x = \bar{U}_m$$

$$c_y = \bar{V}_m$$

即整個氣流層之駛流作用；換言之，颱風中心之位移，與颱風整個環流所在大氣層之平均駛流一致。

(3) 內力， $I$ ：颱風環流內因地球自轉作用，產生不平衡力，稱為內力。颱風路徑預報之誤差，常由於內力所致，於此將詳予分析：

$$\begin{aligned} I &= - 2\omega \int_{\tau} \rho [ (w' \cos \phi_0 - v' \sin \phi_0) i \\ &\quad + u' \sin \phi_0 j ] d\tau \end{aligned} \quad (15)$$

上式可分為  $x$  與  $y$  兩方向

$$I_x = -2\omega \int_{r_0}^{r_1} \rho (w' \cos \phi_0 - v' \sin \phi_0) d\tau \quad (16)$$

$$I_y = 2\omega \int_{r_0}^{r_1} \rho u' \sin \phi_0 d\tau \quad (17)$$

現將颱風整個環流作為一個圓柱體，且以圓柱座標( $r, \theta, z, t$ )為準，則

$$u' = v_r \cos \theta - v_\theta \sin \theta \quad (18)$$

$$v' = v_r \sin \theta + v_\theta \cos \theta \quad (19)$$

$v_\theta$  表示相當於颱風中心之切向風速， $v_r$  表示徑向風速，且

$$\begin{aligned} f &= f_0 + \beta y \\ &= f_0 + \beta r \sin \theta \\ (\beta &= \frac{\partial f}{\partial y}) \end{aligned} \quad (20)$$

以(18), (19)與(20)三式代入(16)與(17)式中，得

$$\begin{aligned} I_x &= -2\omega \bar{w} \cos \phi_0 \cdot M \\ &\quad + \int_{r_0}^{r_1} \rho f v' d\tau \end{aligned} \quad (21)$$

$$\begin{aligned} \text{而 } \int_{r_0}^{r_1} \rho f v' d\tau &= \int_{r_0}^{r_1} \rho (f_0 + \beta r \sin \theta) (v_r \sin \theta \\ &\quad + v_\theta \cos \theta) d\tau \\ &= \int_{r_0}^{r_1} dz \int_0^{2\pi} \int_{r_0}^{r_1} \rho (f_0 v_r \sin \theta \\ &\quad + f_0 v_\theta \cos \theta + \beta r v_\theta \sin \theta \cos \theta \\ &\quad + \beta r v_r \sin^2 \theta) r d\theta dr \end{aligned} \quad (22)$$

式中之  $r_0$  代表颱風半徑； $z_1$ ，颱風環流之厚度； $\bar{w}$ ，為颱風區內之平均垂直氣流速度。現假設颱風中風速  $v_r$ ， $v_\theta$  是軸對稱（如呈不對稱，則於偏心颱風一節中討論），則(22)式右側第一二三項經 0 至  $2\pi$  積分後，都等於零，而

$$\int_0^{2\pi} \sin^2 \theta d\theta = \pi, \text{ 則得：}$$

$$\begin{aligned} \int_{r_0}^{r_1} \rho f v' d\tau &= \int_{r_0}^{r_1} dz \int_0^{r_0} \beta \rho r^2 \bar{v}_r \pi d\tau \end{aligned}$$

$$\begin{aligned} &= \int_0^{r_1} dz (\rho \beta \bar{v}_r \pi) \int_0^{r_0} r^2 dr \\ &= \rho \beta \bar{v}_r \pi \cdot \left(\frac{1}{3} r_0^3\right) \cdot z_1 \\ &= \frac{1}{3} \beta \bar{v}_r r_0 \cdot M \end{aligned}$$

$$\text{故得 } I_x = -2\omega M \cos \phi_0 \left(\bar{w} - \frac{r_0 \bar{v}_r}{3a}\right) \quad (23)$$

$$I_y = 2\omega M \cos \phi_0 \cdot \frac{r_0 \bar{v}_\theta}{3a} \quad (24)$$

$a$  為地球之半徑

因颱風環流中有上昇與輻合氣流，故  $\bar{w} > 0$ ,  $\bar{v}_r < 0$ ，故  $I_x < 0$ ，有向西內力；又颱風環流為氣旋型， $v_\theta > 0$ ，故  $I_y > 0$ ，有向北內力。颱風中之總內力是指向北偏西方向。當颱風範圍大，氣旋型環流與輻合氣流愈強，颱風中之內力也愈大，於深厚之東風氣流中，颱風中心之位移常有偏北之分速度，此點乃為颱風環流中有內力存在之明證。

(4) 因颱風內部環流中運動量變化而產生之內力  $N$  如下：

$$N = \int_{r_0}^{r_1} \rho \left( \frac{\partial u'}{\partial t} i + \frac{dv'}{\partial t} j \right) d\tau \quad (25)$$

該式中加速項，於颱風迅速發展過程中較為顯著且甚複雜，故不易確定，於此不作深入之討論。

### 三、偏心颱風之路徑

若颱風環流並非軸對稱而呈偏心結構，如圖一所示，則可應用定量輸送之水平流線觀念處理之（王，六十七年）。颱風環流上下兩側各一點  $U$  與  $D$ ，該兩點上之氣壓相等，其間距離為  $2\sigma\rho$  緯度， $U$  與  $D$  點上實測之風速各為  $U_U$  與  $U_D$ 。當颱風中心位移  $C$  時，其  $x$ ,  $y$  方向之分速各為  $C_x$  與  $C_y$ 。 $U$  與  $D$  兩點上之氣流對颱風中心之相對速度各為  $U_b$  與  $U_B$ ；而  $U_b = U_U - C_x$ ,  $U_B = U_D + C_x$ 。如以圓柱座標表示颱風環流內之梯度風，則

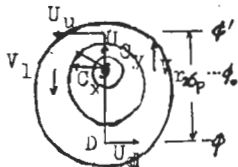
$$\frac{U_b^2}{r} + 2\omega \sin \phi' U_b = \frac{1}{\rho} \frac{\Delta p}{\Delta r}, \text{ 或}$$

$$\left(\frac{U_b}{r}\right)^2 + 2\omega \sin \phi' U_b \rho \Delta r = \Delta p \quad (26)$$

與

$$\frac{U_b^2}{r'} + 2\omega \sin \phi U_b = \frac{1}{\rho} \frac{\Delta p}{\Delta r'} \text{ 或}$$

$$(\frac{U_b}{r'} + 2\omega \sin \phi) U_b \rho \Delta r' = \Delta p \quad (27)$$



第一圖 偏心颱風

$\Delta p$  表示兩相鄰等壓線間之氣壓差，通常以 3 毫巴為準，故上兩式等於常數；又式中之  $r$  與  $r'$  表示颱風環流之曲半徑，與  $a \tan \sigma_\rho$  近似，故可以  $a \tan \sigma_\rho$  表示  $r$  與  $r'$ ， $a$  為地球表徑。因此

$$\begin{aligned} & (\frac{U_b}{a \tan \sigma_\rho} + 2\omega \sin \phi') U_b \rho \Delta r \\ & = (\frac{U_b}{a \tan \sigma_\rho} + 2\omega \sin \phi) U_b \rho \Delta r' \end{aligned} \quad (28)$$

當氣流通過  $U$  與  $D$  點附近兩相鄰等壓線間時，按定量輸送原理，

$$U_b \rho \Delta r = U_b \rho \Delta r'$$

$$\text{因此 } \frac{U_b - U_b}{a \tan \sigma_\rho}$$

$$\begin{aligned} & = -2\omega(\sin \phi - \sin \phi') \\ & \approx 4\omega \cos \bar{\phi} \sin \sigma_\rho \end{aligned} \quad (29)$$

$$\begin{aligned} \text{即 } U_b - U_b & = 4\omega a \cos \bar{\phi} \tan \sigma_\rho \sin \sigma_\rho \\ & \approx 4\omega a \sigma_\rho^2 \cos \bar{\phi} \end{aligned}$$

$$\begin{aligned} \text{即 } U_b - U_b - 2C_s & = 4\omega a \sigma_\rho^2 \cos \bar{\phi} \\ 2C_s & = U_b - U_b - 4\omega a \sigma_\rho^2 \cos \bar{\phi} \end{aligned} \quad (30)$$

至於颱風中心左、右 ( $l$ ,  $r$ ) 兩側之氣流，因無緯度之差別，柯氏力相同，

$$\text{故 } 2C_s = V_r - V_l \quad (31)$$

由(30)與(31)兩式可知：如颱風環流不呈軸對稱，當颱風中心東北方之氣壓梯度特大時，颱風中心北側之氣壓雖低，颱風中心仍有向西北移動之實例；而當颱風西北側之氣壓梯度特大時，颱風中心有向

西南位移之情形。秋、冬季節中，每當西伯利亞高壓中心南下華南時，臺灣東南方近海之颱風常有轉向西南之實例。

#### 四、颱風蛇行之成因

於均勻氣流場中，或長波槽區，其氣壓梯度甚小 ( $\nabla p \approx 0$ )，駛流不振，僅往北之內力  $I_y$  較為顯著，且設等於一常數  $C$ ，則由(1)與(2)式得：

$$\frac{du}{dt} - fc_y = -\frac{1}{\rho} \frac{\partial p}{\partial x} + I_x = 0 \quad (32)$$

$$\frac{dv}{dt} + fc_x = -\frac{1}{\rho} \frac{\partial p}{\partial y} + I_y = C \quad (33)$$

由此得：

$$\frac{d^2x_0}{dt^2} - f \frac{dy_0}{dt} = 0 \quad (34)$$

$$\frac{d^2y_0}{dt^2} + f \frac{dx_0}{dt} = C \quad (35)$$

假設  $f$  不變，初始條件  $t = 0$  時， $x_0 = y_0 = 0$ ， $u_0 = v_0 = 0$ 。則得下列兩微分方程：

$$x_0 = \frac{C}{f} \left( t - \frac{1}{f} \sin ft \right) \quad (36)$$

$$y_0 = \frac{C}{f^2} (1 - \cos ft) \quad (37)$$

即颱風中心 (0) 點之位移呈搖擺而有小振幅之正弦曲線。緩慢移動之路徑，常左右搖擺，實例頗多。

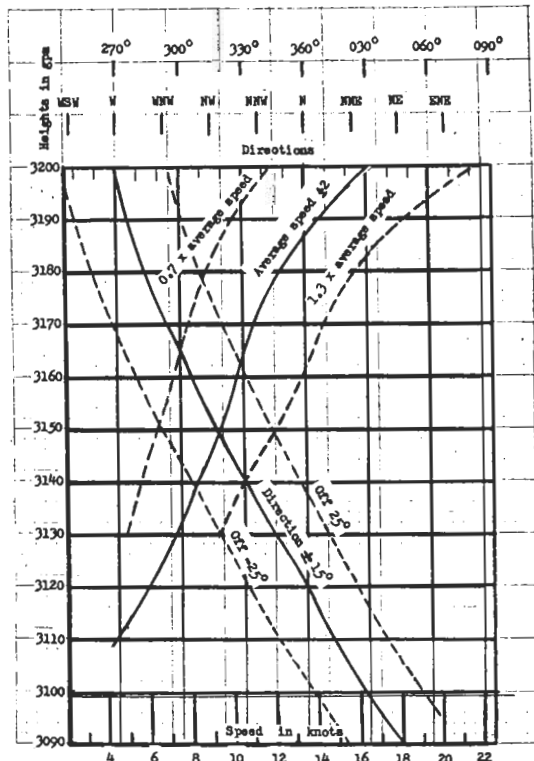
#### 五、駛流強度之估計

颱風隨駛流運行之原理乃為氣象預報人員共同之認識，但該氣流之確定方法不一。仲夏季節之颱風環流，可由對流層之底部上展至 200 mb 面附近；而初夏與秋末冬初者，其環流僅及 300 mb 定壓面附近而已。因此導引颱風運行之駛流以 1000 至 300 mb 為最適宜。如取 1000 與 300 mb 面之平均氣流場作為駛流，應為一可信之近似值。1000 與 300 mb 面之高度平均圖，其型式與 700 mb 面上者相似，其高度僅較後者約高 5,000 重力位呎 (1500 gpm) 而已，故根據統計應用 700 mb 面圖預測颱風之運行，應為一最佳之選擇。

為遠離颱風環流但又須直接影響颱風運行之氣流場，故取與颱風中心各相距六百浬南、北、東、西四點，以北（N）點上 700 mb 面之高度減去南（S）點上 700 mb 面之高度，得與颱風環流附近東西（或西東向）向駛流速度成比例之地轉風速，即  $U_m$ ；再以東、西兩點上 700 mb 面之高度差，得南北（或北南）向之平均駛流  $V_m$ 。由上述兩平均駛流之向量和即可得颱風環流，因由外力而位移之概況，此種計算法則，可以四點法名之。

綜觀 700 mb 面天氣圖上實測之資料，赤道北側之測站稀少，有時不見可靠報告，因此颱風中心東、西、南三點上分析之數據，實有疑問，對於颱風位移預測之校驗，實難評估。為求統計簡易，筆者捨棄該三點，獨留 N 點 700 mb 上之高度作為颱風位移方向之參數。當颱風移動方向確定後，由颱風中心向左右各畫一線，與颱風中心移動之方向垂直，亦以 600 浬間距為準，得 R（右）與 L（左）兩點。R 點上之 700 mb 高度與颱風中心前移之速率成正比。N 與 R 兩點上 700 mb 之高度與颱風中心之位移速度如第二圖所示。該圖之 y 軸表示 N 與 R 兩點上 700 mb 面之高度，上側 x 軸表示颱風移動之方向，下側者表示速率，颱風移動方向線以粗線表示，由左上角向右下角傾斜，速率線由右上角向左下角傾斜；兩粗線之兩側各有兩細虛線，表示方向風與速率可能之偏差。例如：目前 R 點上之 700 mb 高度為 3160 gpm，其對應之移動方向是 300°，速率為 10 節（kt），但根據數值天氣預報圖，太平洋高壓脊在繼續增強中，因此預報颱風路徑，按第二圖，應偏左 15°，即 285°；而速率則增加 2 節，即 12 節；如太平洋高壓脊減弱，其處理方式相反，即移動方向為 315°/08 kt，根據 1951—1981 三十一年西太平洋之颱風資料，颱風移動方向之誤差約於  $\pm 15^\circ$  者，有 83% 之機率；速率誤差  $\pm 2 kt$  者，約有 71%。因 R 與 N 兩點之位置均接近中緯，或於中緯度區，其高度上升與下降，均可由數值預報圖研判，相當客觀。至於 L 點上 700 mb 之高度可以校正速率。L 點上 700 mb 之高度約在 3120—3130 gpm 之間，如 L 點上 700 mb 之高度為估計，則颱風位移之速度不作修正；

如資料正確且與平均值差距 20 gpm 或以上時，應予考慮；凡 L 點上 700 mb 之高度比 3130 gpm 每高出 10 gpm，颱風前移之速率減 1 kt；若比 3120 gpm 小，則其高度每小一「10 gpm」單位，其前移之速率應加 1 kt。每當颱風中心由沖繩區向西接近台灣北部近海時，颱風向西移動之速度常增加，因台東與蘭嶼位於背風區，氣壓急降，L 點上 700 mb 之高度亦隨之而降，因此颱風加速運行，其原因即在此（偏心影響）。



第二圖 700 mb 面上 N 與 R 點之高度，與颱風中心移動之方向與速率

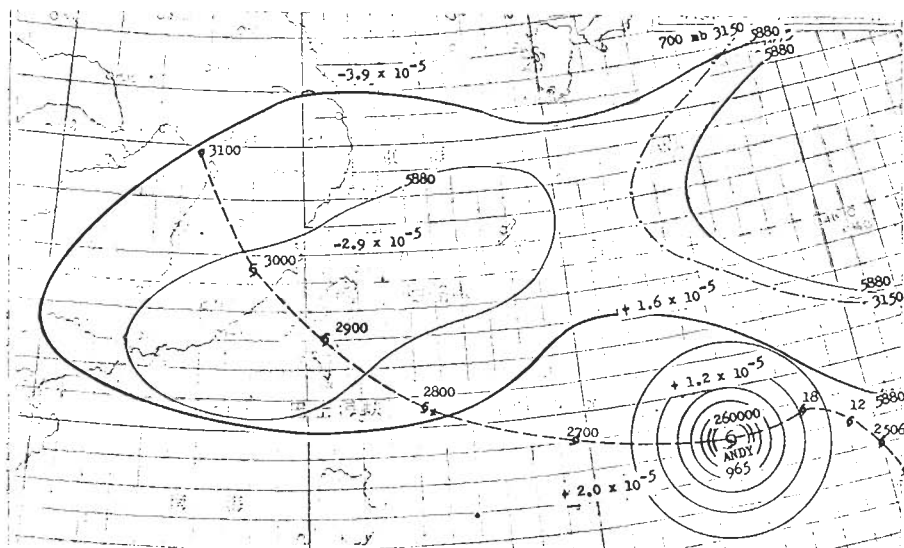
## 六、500 mb 數值預報圖之評估

本文所用之颱風預測法以 700 mb 為主，但目前日本氣象廳發佈之數值預報圖均以 500 mb 為準，故本文以 500 mb 數值預報圖作為預報颱風運行之基本資料，如應用得當，對於低緯度區之颱風預測，仍有相當應用之價值，茲分別討論如下：

(1) 太平洋高壓脊增強型

如第三圖所示，颱風「安迪」曾有曲折之路徑，七月二十五日因受東方中度颱風「貝絲」迅速發展之影響，其東側之氣壓急降，西側者維持正常，故有向南之地轉風駛流，因此颱風「安迪」有短暫之西南西路徑。後因東側之颱風「貝絲」因遇其西北側短波槽之影響，呈短暫之滯留，颱風「安迪」即脫離「貝絲」牽制而回復至西向，轉西北西之行徑。按 260000 Z 高空圖，700 mb 面上之 3150 gpm 所圍之高壓脊位於颱風「安迪」中心之北；500 mb 等高線所圍之高壓區，一位於華南、台灣

與沖繩島上空，另一高壓脊位於「安迪」之東北側、日本東南方近海。按此種天氣圖型態，如太平洋高壓脊減弱，則「安迪」颱風有向右轉入兩高壓脊間鞍型場之可能。但根據數值預報圖，於未來 48 - hr 內，太平洋高壓將增強，兩高壓中心將會合併，因此 700 mb 面上颱風中心北側 N，與中心路徑右側 R 點上之高度亦上升，故「安迪」將維持其西北西 12 節之位移速度繼續前進。由此可知，「安迪」侵襲台灣本島之大勢於三日前即可確定。



第三圖 颱風「安迪」之移動與 700, 500 mb 圖型之關係

圖四所示者乃為 24 - hr 後之天氣圖型態，「安迪」颱風之中心氣壓已降至 940 mb，繼續以西北西 12 節之速度位移，該時日本南方海面上之太平洋高壓脊已如數值預報者繼續增強，且向西伸展，48 - hr (粗實線) 將盤據長江口與浙江省；但華南地區由 5880 gpm 等高線所圍之分裂高壓將消失，48 - hr 後「安迪」颱風將轉向西北移動；其結果與預測者相符。

#### (2) 穩定型颱風路徑

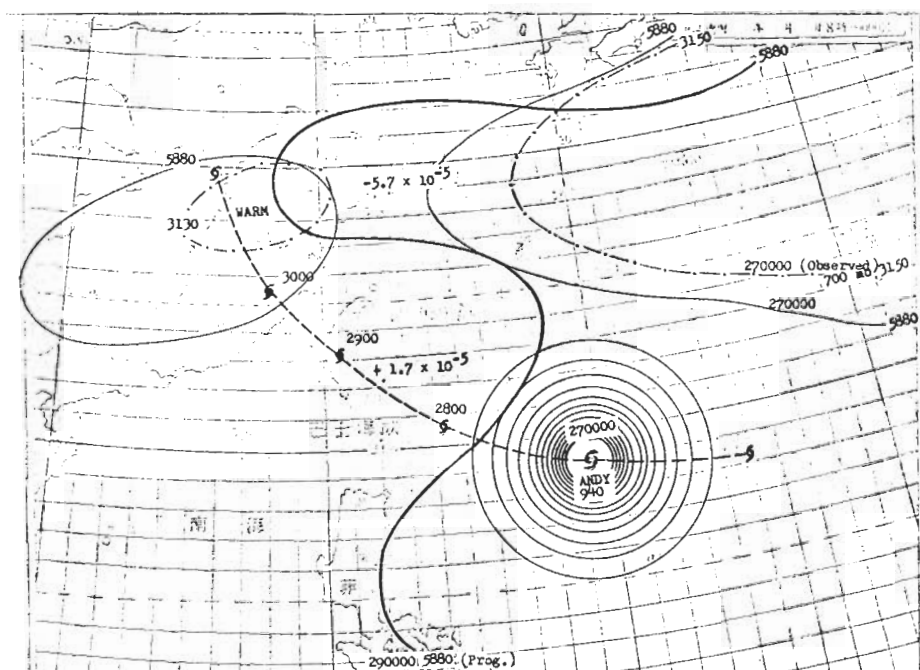
菲律賓呂宋島兩側之颱風，因距台灣近，其路徑又因地形影響常呈曲折，故預測困難，對台灣本島言，時有「突襲」現象，如民國四十一年十一月十三日之「貝絲」，六十八年七月二十五日之「賽

珞瑪」，突襲台灣西南部時，均有嚴重之生命與財產損失，故預測此北類颱風，應有一定模式可循，以防再有「突襲」颱風之發生。

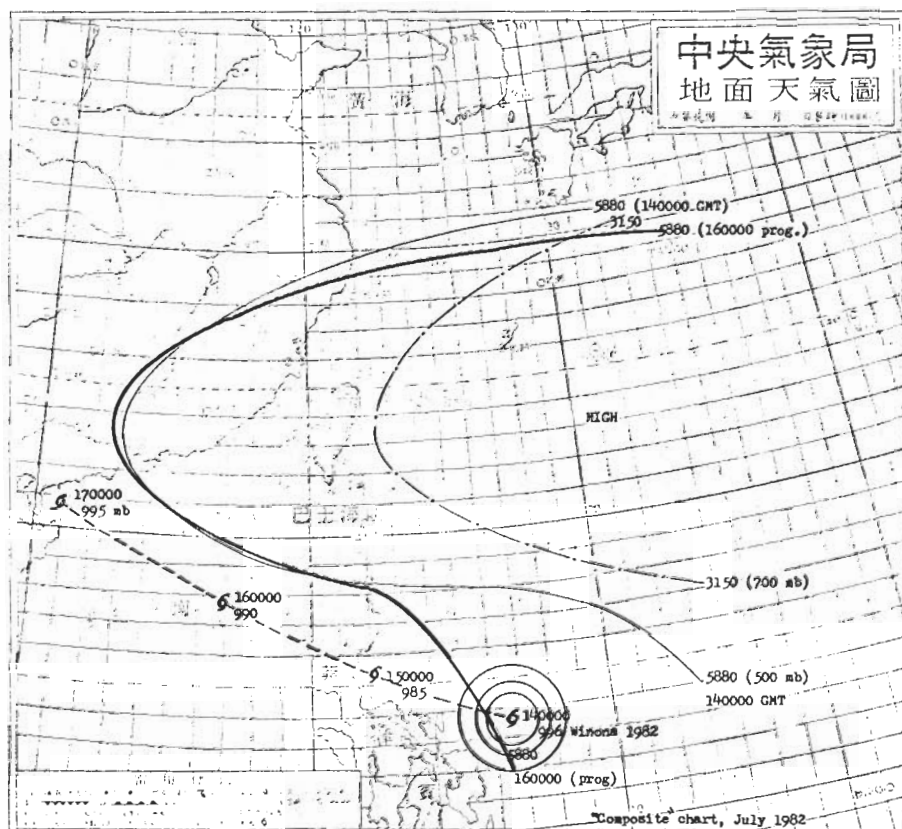
第五圖所示者為一穩定型之標準型態，颱風中心北側 10 緯度處 N 點上 700 mb 面之高度（段點線）約為 3160 - 3170 gpm 間，R 點上者亦與此相近，由第二圖可知該颱風最可能之移動速度是西北西 10 節。該圖中之細實線為 500 mb 面上 5880 gpm 等高線，粗實線為 48 - hr 數值預報之 5880 gpm 等高線，表示副熱帶高壓脊將繼續籠罩台灣與華南地區，颱風中心並無右轉之可能。

如強盛之太平高壓西展，700 與 500 mb 分裂高壓中心位於颱風環流之北側且維持強度不變，則颱風

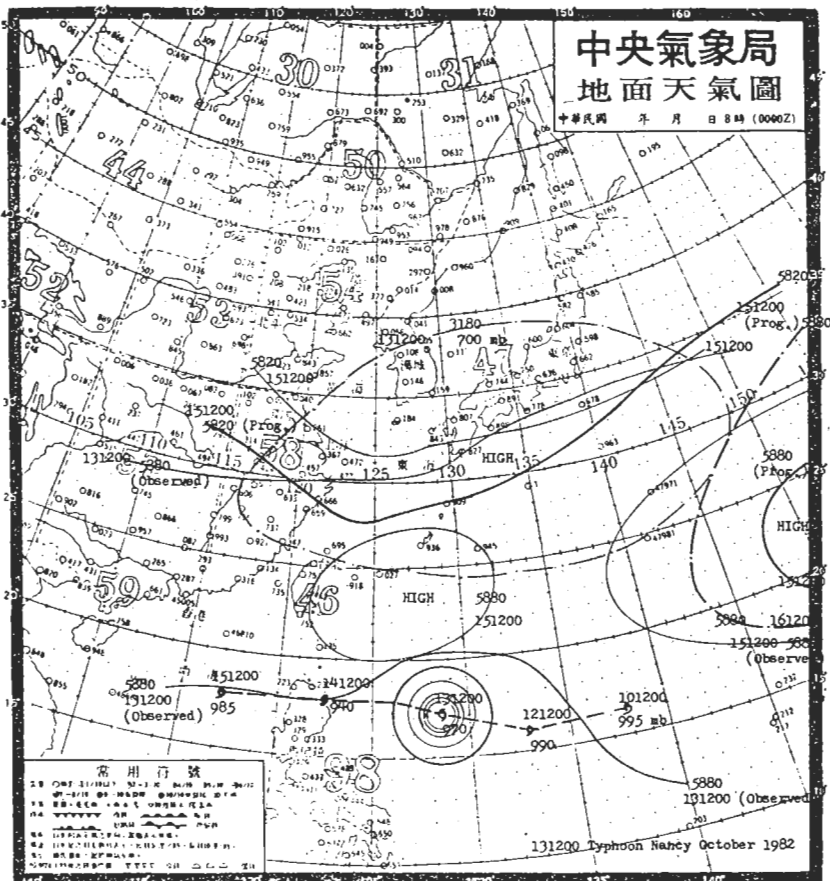
中心有繼續向西移動之可能，圖六所示者乃為一常見之實例。



第四圖 同第三圖，但日期不同



第五圖 穩定颱風路徑(一)



第六圖 穩定颱風路徑(二)

### (3) 右轉型颱風路徑

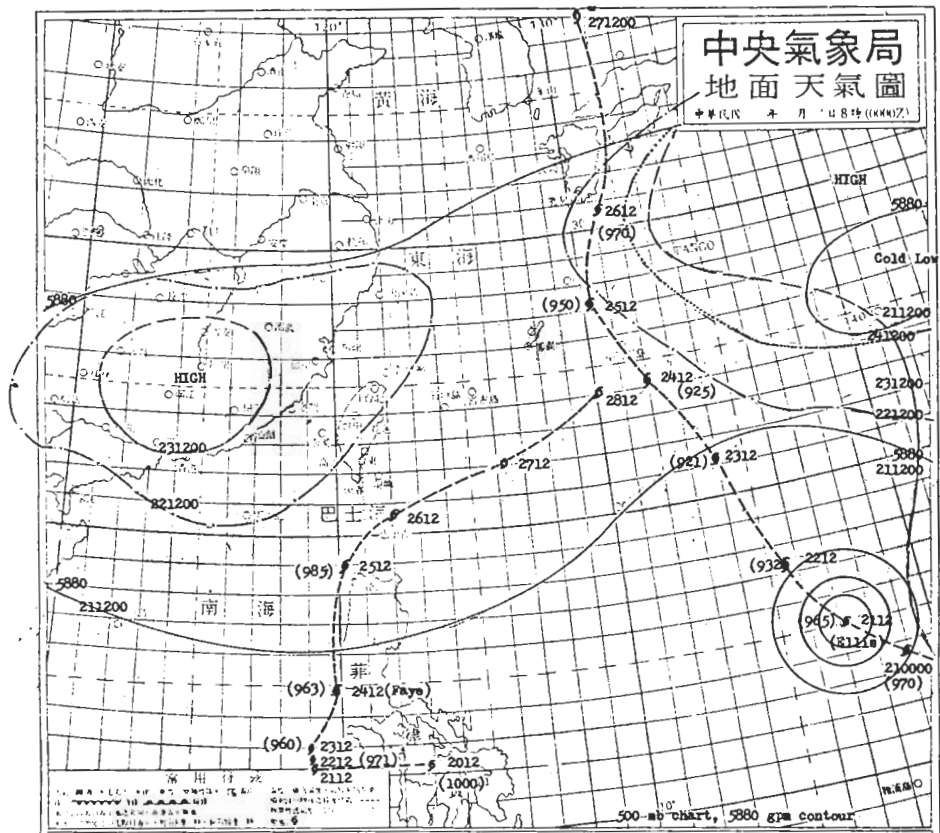
如太平洋高壓脊分裂， $500\text{ mb}$ 面  $5880\text{ gpm}$  等高線所圍之高壓區，位於日本南方海域與我國東南沿海，低壓槽位於日本西部與沖繩區，則關島西北方之颱風常有右轉至中、高緯度之可能。第七圖所示者乃為一右轉之實例， $211200\text{ Z}$  時颱風「艾力士」循西北西方向位移，強盛之太平洋高壓脊位於日本西南方洋面，但根據數值預報圖，該高壓脊將分裂（圖省略），因此颱風路徑將轉向高緯度區。第八圖所示者為一秋季型颱風，太平洋高壓脊已分裂， $5880\text{ gpm}$  所圍之高壓區，一位於臺灣與華南區，一位於中太平洋，根據數值報圖（實粗線），低壓槽將於 48 小時後出現於黃海與東海上空，華南高壓區消失，而中太平洋高壓脊則向西緩慢伸展，颱風中心將循高壓脊西側位移。

#### (4) 左轉型颱風

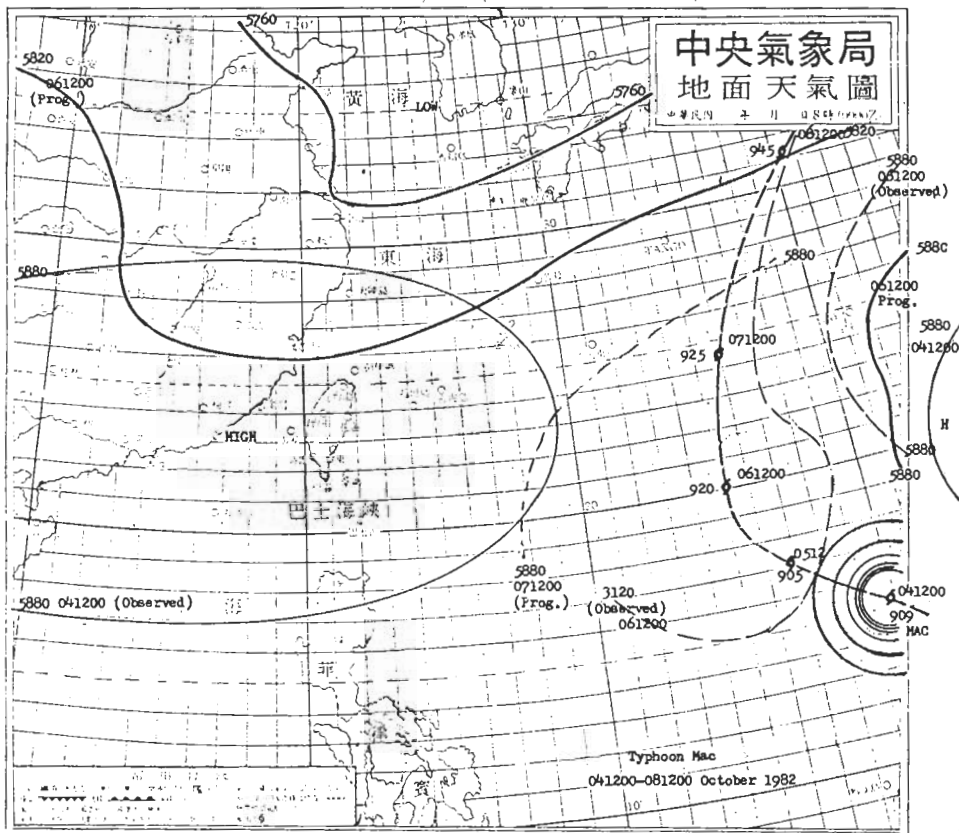
影響臺灣之颱風有不少屬本類型，如第九圖所示者，颱風「戴特」與「西仕」同時出現於西太平洋區。粗實線所圍之區域乃為 48 小時數值預測圖。此圖可表示數值預報之不足。因「戴特」颱風之北側與「西仕」颱風之南側，均有強盛之負渦旋度，故太平洋高壓脊於東海上空迅速發展，且向華南與華中區伸展（此點數值預報無顯示之能力），故「戴特」颱風路徑偏左，由西北西方向轉向西進。「西仕」颱風則因日本西部與南韓地區氣壓之急速上升，由北轉向北北西（偏心作用）。

### (5) 北向蛇行颱風

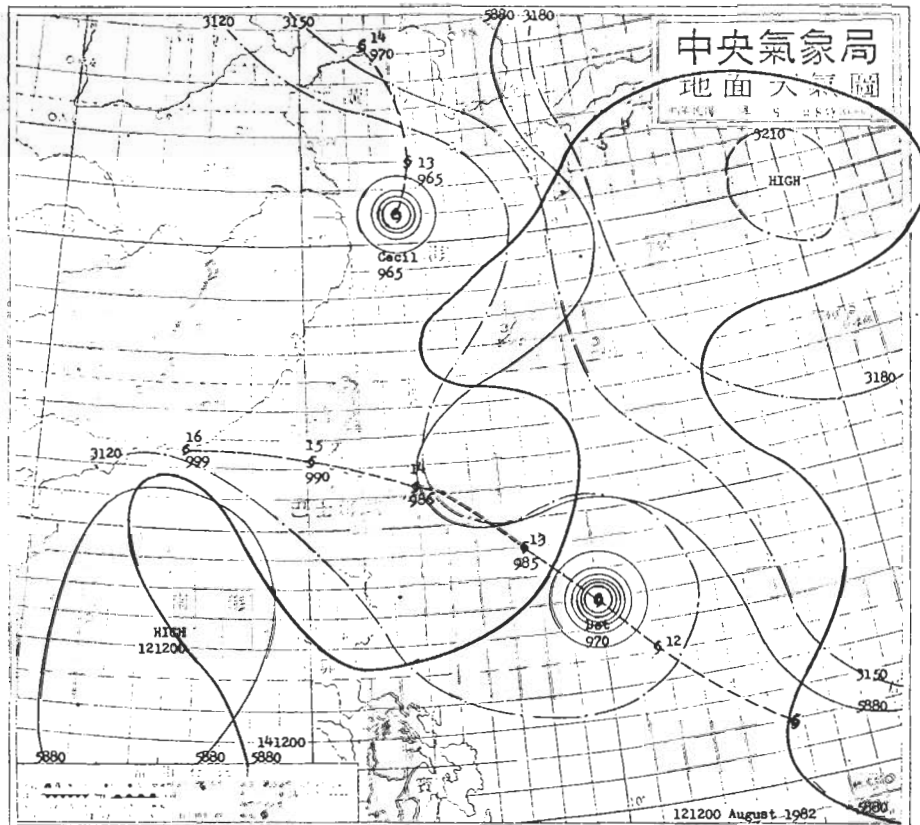
參閱第十圖，西太平洋高壓脊已分裂，呈西北／東南向，高緯度 500 mb 分裂高壓中心位於日本西部，低緯度區者位於西太平洋中部，華中、華南地



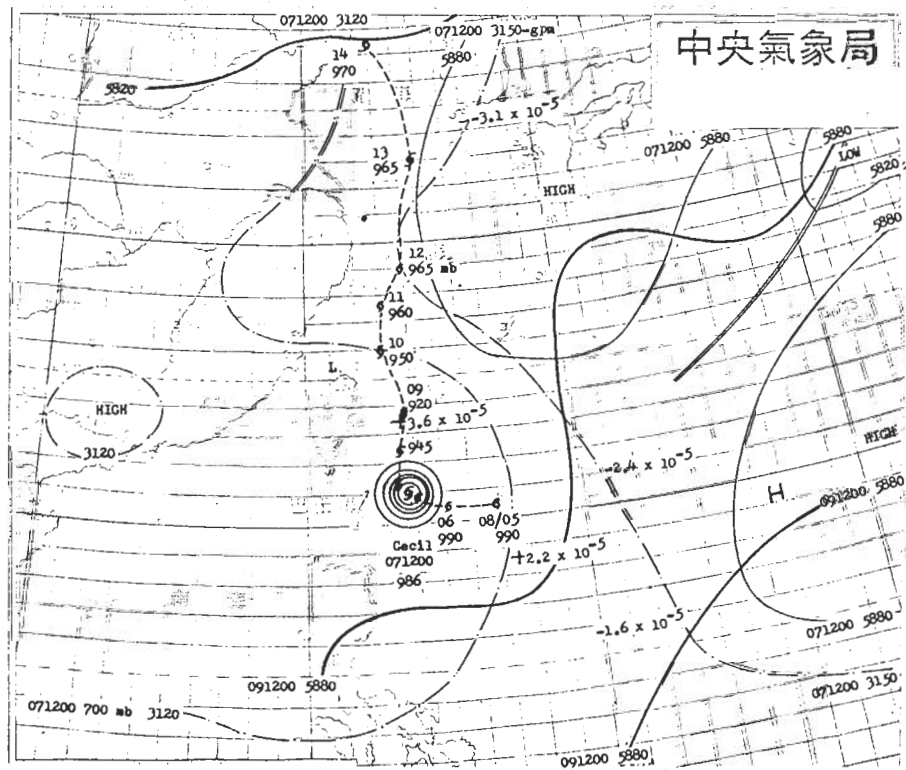
第七圖 右轉颱風路徑(一)



第八圖 右轉颱風路徑(二)



第九圖 左轉駛風路徑



第十圖 蛇行颶風路徑

區氣壓場平坦，故駛流不振，颱風「西仕」僅向西北西緩慢移動，根據 48 hr 數值預報圖，日本西部上空之高壓脊將消失，而西太平洋之高壓區則略向西延伸（粗實線），其西側 5880 gpm 等高線呈南北向排列，而華南地區之氣壓分佈，維持平坦，故颱風「西仕」向北位移乃為最佳之研判。「西仕」既向北，因其四周駛流微弱，故呈左右搖擺狀移動，直至黃海後，再轉向西北，直趨山東半島。

#### (6)不規則路徑

第十一圖所示之「肯恩」路徑為一不規則型。西太平洋高壓脊於東海上空似已分裂，但 5880 gpm 等高線亦可作連續之描繪，如 191200 段點線所示者然，但颱風「肯恩」西周駛流之強度相當微弱，因此該颱風於 191200 至 201200 間，以順時鐘方向旋轉兩周，然後循長波槽直趨日本。

論七、結

颶風路徑預報應根據其四周之駛流強弱而定，

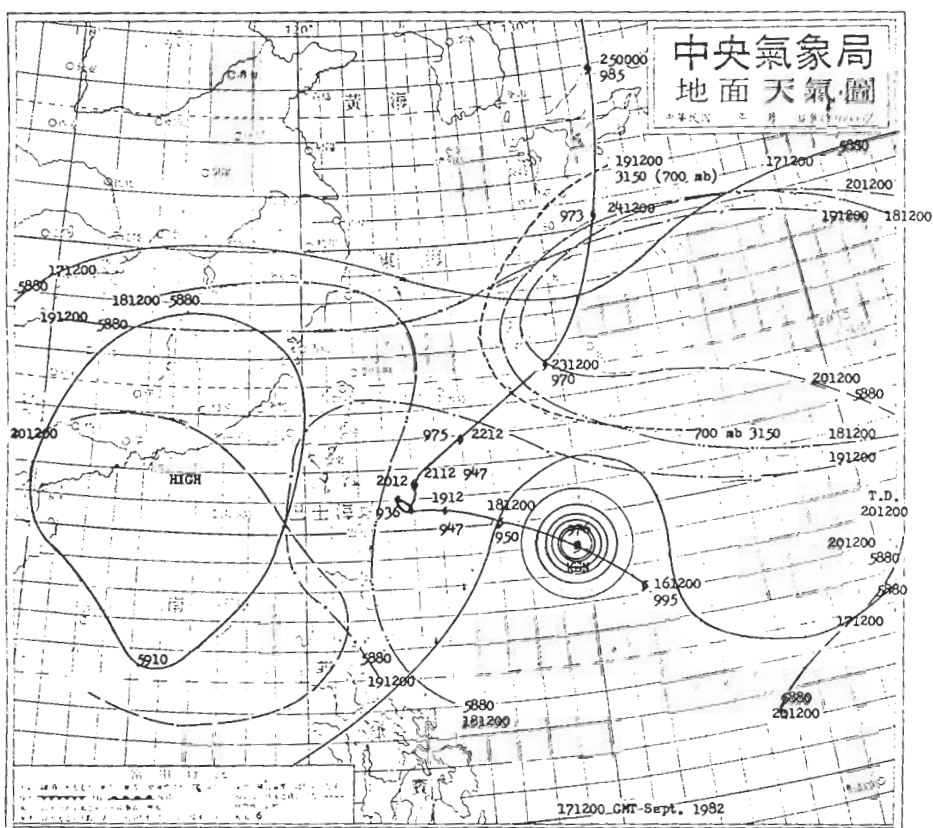
當駛流強時，颱風移動穩定，研判較易；若駛流微弱，因颱風環流內之內力作用，路徑曲折，正確之路徑預報相當困難，所幸其位移之距離較短，有充分之時間作颱風預報之修正。

颱風環流呈非軸對稱時——偏心，正確之颱風路徑預報更行困難，故於分析天氣圖時，應力求正確，描繪出偏心之特徵，作為預報颱風轉向之依據，數值預報圖之應用，亦應考慮偏心之可能。每當颱風接近陸地，或大型島嶼時，因接近陸地一側之颱風環流被破壞，或副低壓之形成，皆足以使颱風環流呈偏心狀，以致右折左彎，難以掌握其正確動向。台灣本島附近不規則之颱風路徑，均屬偏心作用。

### 參 考 文 獻

王崇岳 六十七年 天氣學上 P. 294、下 P. 30

正中書局



第十一圖 不規則路徑颱風

## The Basic Principles of Typhoon Movement and 72-hr Typhoon Track Forecasting

Griffith C.Y. Wang

Department of Atmospheric Sciences  
National Taiwan University

### ABSTRACT

Using the equations of motion we can analyze the movement of typhoons such as a steady straight forward motion, acceleration or deceleration, right or left turn, looping and wavy tracks in detail. The strength of steering flow is determined by the height differences at two pairs of points, north—south and west—east, each point with a distance of 10 degrees of latitude from the typhoon center.

When 700-mb data in the equatorial area are unavailable; the 700-mb heights at the points N, north, and R, ninety degrees to the right of typhoon track, each point with a distance of 10 degrees of latitude from the typhoon center, are used to determine the movement of typhoons.

The 500-mb numerical prognostic chart, a product of the 6-level Fine-mesh Limited Area Model, is used as a guide for 72-hr typhoon track forecasting.